

Таблица 2

$t_{mnkl}$	$n$ четно				$n$ нечетно			
	$a_{mn} < 0$		$a_{mn} \geq 0$		$a_{mn} < 0$		$a_{mn} \geq 0$	
	$b_{mn} < 0$	$b_{mn} \geq 0$	$b_{mn} < 0$	$b_{mn} \geq 0$	$b_{mn} < 0$	$b_{mn} \geq 0$	$b_{mn} < 0$	$b_{mn} \geq 0$
$t_{mn11}$	0	0	$a_{mn}$	$a_{mn}$	$-a_{mn}$	$-a_{mn}$	0	0
$t_{mn12}$	$-a_{mn}$	$-a_{mn}$	0	0	0	0	$a_{mn}$	$a_{mn}$
$t_{mn21}$	0	$b_{mn}$	0	$b_{mn}$	$-b_{mn}$	0	$-b_{mn}$	0
$t_{mn22}$	$-b_{mn}$	0	$-b_{mn}$	0	0	$b_{mn}$	0	$b_{mn}$

$$\left. \begin{aligned} \sum_{k=1}^2 \sum_{l=1}^2 t_{mnkl} \exp \left[ i \frac{\pi}{2} (2k+l-3) \right] &= H_{mn}, \quad n \text{ четно,} \\ \sum_{k=1}^2 \sum_{l=1}^2 t_{mnkl} \exp \left[ i \frac{\pi}{2} (2k+l-1) \right] &= H_{mn}, \quad n \text{ нечетно.} \end{aligned} \right\} \quad (14)$$

Воспользовавшись (11), уравнения (14) можно записать в виде систем уравнений с действительными коэффициентами:

$$\left. \begin{aligned} t_{mn11} - t_{mn12} &= a_{mn}, \\ t_{mn21} - t_{mn22} &= b_{mn}, \\ t_{mn12} - t_{mn11} &= a_{mn}, \\ t_{mn22} - t_{mn21} &= b_{mn}, \end{aligned} \right\} \quad \begin{aligned} &n \text{ четно,} \\ &n \text{ нечетно.} \end{aligned} \quad (15)$$

Системы уравнений (15) допускают бесконечное число решений. Одно из них можно представить в виде таблицы решений (табл. 2).

Предлагаемый метод кодирования, как это следует из (15), требует от устройства вывода фильтров из ЭВМ реализации четырех элементов размером  $\Delta x/2 \times \Delta y/2$  (рисунок, б), что в два раза снижает требование к разрешению в сравнении с методом ЛИ. Предложенный метод кодирования может быть применен для синтеза фурье-ограмм и голограмм Френеля.

#### ЛИТЕРАТУРА

- Lee W. H. Sampled Fourier-Transform Hologram Generated by Computer.—Appl Opt., 1970, vol. 9, N 9.
- Burckhardt C. B. Simplification of Lee's Method of Generating Holograms by Computer.—Appl. Opt., 1970, vol. 9, N 8, p. 1949.

Поступило в редакцию 16 декабря 1980 г.

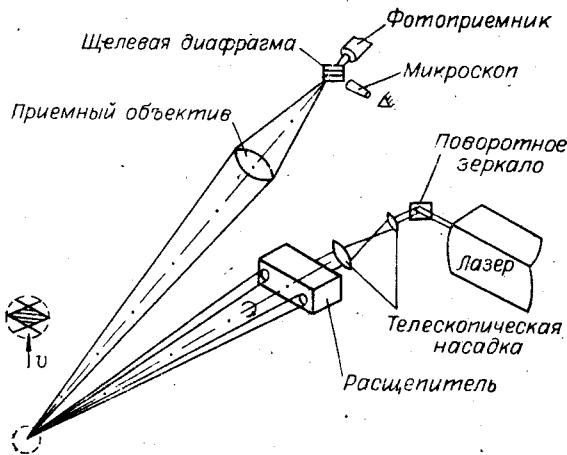
УДК 532.57 : 533.6.071.08 : 624.375.8

Н. П. КОЛОТАЕВ  
(Москва)

АДАПТИРУЮЩАЯСЯ К УСЛОВИЯМ  
АЭРОДИНАМИЧЕСКОГО ЭКСПЕРИМЕНТА  
ПРОБЛЕМНО-ОРИЕНТИРОВАННАЯ АСНИ ЛДИС МИНИ-ЭВМ

Аэродинамический эксперимент представляет сложный вид научного исследования аэрофизических процессов в воздушных потоках, обтекающих модели и элементы летательных аппаратов. Он характеризуется большим объемом измерений различных физических величин, высокой точностью и информативностью результатов измерений, малой длительностью процесса измерений. Внедрение в практику метода лазерной

Рис. 1.



шения отмеченных проблем создана автоматизированная система научных исследований (АСНИ) на базе лазерного допплеровского измерителя скорости (ЛДИС) и мини-ЭВМ, позволившая усовершенствовать автоматизацию аэрофизических исследований, в которых применяется лазерный анемометр. Основными элементами АСНИ ЛДИС мини-ЭВМ являются [3] специализированный электронный процессор ЛДИС, автоматический координатно-измерительный стол с числовым программным управлением, оптическая система с управляемым устройством пространственной ориентации зондирующего интерференционного поля, мини-ЭВМ. Источником когерентного света в оптической системе (рис. 1) служит малошумящий аргоновый лазер с уровнем спектральной плотности относительной мощности шумов  $2 \cdot 10^{-14} \text{ Гц}$  в диапазоне измеряемого допплеровского сдвига частоты. Широколоспектральный, с полосой пропускания  $\Delta f \leq 120 \text{ МГц}$ , фотодетектор имеет квантовый выход  $\eta \approx 12\%$ . Дискретная измерительная схема процессора ЛДИС (рис. 2) производит полосовую  $\Delta f$  частотную фильтрацию, анализирует и выделяет по оптимальному алгоритму центральную часть допплеровского сигнала, в которой на квазиоптимальном уровне измеряются длительность сигнала  $T_x$  и импульсная последовательность  $N_x$ , синхронизованная с фазовыми переходами сигнала через пульевую уровень в пределах интервала  $T_x$ . Автоматика реализует асинхронную работу аппаратуры комплекса.

Специализированный процессор ЛДИС совместно с экспериментальной оптической системой обеспечивает измерение компоненты вектора мгновенной скорости  $v_i$  потока в диапазоне скоростей  $\leq 300 \text{ м/с}$  с пространственным разрешением до  $0,01 \text{ мм}$ . Достигнута погрешность измерения скорости воздушного потока, составляющая  $0,1\%$ . Минимальное время выделения параметров допплеровского сигнала доведено до  $\sim 1 \text{ мкс}$ , что позволяет практически мгновенно проводить измерения скорости исследуемого потока.

Основной целью проблемно-ориентированной АСНИ ЛДИС мини-ЭВМ является извлечение максимума экспериментальной информации в аэродинамическом эксперименте за заданное время. Оптимальный подход к аэродинамическому эксперименту с применением ЛДИС характеризуется решением многопараметрических задач, связанных как с оптимальной оценкой искомых параметров, так и с вторичной обработкой и оптимальным планированием эксперимента. Планирование эксперимента и оценка искомых параметров выполняются с помощью мини-ЭВМ. В проблемно-ориентированной АСНИ ЛДИС мини-ЭВМ, которая в течение ряда лет успешно работает в экспериментах в дозвуковой аэrodинамической трубе с открытой рабочей частью, равной  $3,5 \text{ м}$ , применяется в качестве мини-ЭВМ вычислительная машина типа ЕС-1010. На ЭВМ более высокого уровня, связь с которой осуществляется с помощью устройства УС ЕС и магистральной линии, выполняется вторичная математическая обработка результатов измерения по алгоритмам, согласованным с конкретным объектом исследования. По магистральному каналу проводится двусторонний обмен информацией в виде пакетов переменной длины. Скорость передачи информации с программным ее контролем достигает  $25 \text{ Кбайт/с}$ .

При исследовании воздушного потока лазерным анемометром средняя скорость потока определяется расчетом по результатам ряда повторных измерений допплеровского сдвига частоты с учетом масштабного множителя  $k$ , обеспечивающего переход к размерности скорости в  $\text{м/с}$ :

$$\bar{v} = k \sum_{i=1}^m N_{xi} / \sum_{i=1}^m T_{xi}.$$

Для получения с высокой точностью данных о скорости исследуемого потока выполняется фильтрация по качеству допплеровских сигналов, заполненных частотой  $v$ . Из последовательности сигналов исключаются реализации, не удовлетворяющие необходимым требованиям. Некачественными являются сигналы с числом периодов меньше

анемометрии [1] значительно расширило традиционные для аэродинамических труб виды экспериментов, а потенциальное быстродействие измерения скорости воздушного потока возросло до  $50-100$  тыс. измер./с [2]. Вместе с тем возник и ряд проблем, связанных с тенденцией роста количества измерений, с расширением динамического диапазона (спектр измеряемых скоростей  $1-2000 \text{ м/с}$ ), с многообразием целей и условий выполнения аэродинамического эксперимента, а также с выбором алгоритмов математической обработки экспериментальных данных. Для разре-

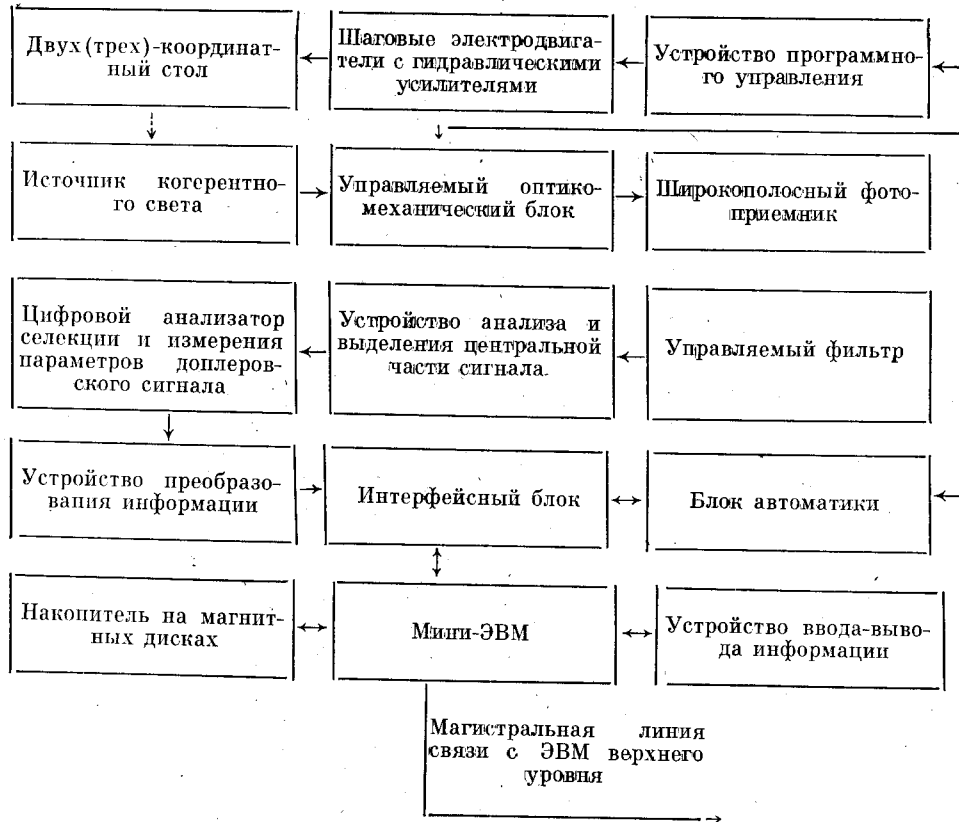


Рис. 2.

допустимого, с малой глубиной модуляции, с неравномерной частотой заполнения, а также сигналы от мелких и крупных частиц аэрозоля (амплитудный признак). Отсев некачественных доплеровских сигналов осуществляется специализированный процессор ЛДИС. Частота качественных сигналов измеряется одним из трех типов периодомеров: модернизированным двухканальным частотометром [4], интерполяционным измерителем временных интервалов [5] или специализированным аналого-цифровым процессором [6]. Результаты измерения доплеровского сдвига частоты накапливаются в оперативной памяти ОЗУ и с помощью мини-ЭВМ математически обрабатываются. Программы обработки ориентированы на задачи средней сложности, применение непосредственно на рабочем месте в аэродинамической трубе, использование в режиме диалога пользователя с системой и выполнение в реальном масштабе времени аэродинамического эксперимента.

Аэродинамический эксперимент, проводимый с помощью аддитивной автоматизированной системы научных исследований ЛДИС мини-ЭВМ, представляет циклический процесс (рис. 3). В основу аэрофизических исследований положен томографический метод. Выбранная область исследования воздушного потока «сочется» в направлении оси координат рядом плоских слоев, формируемых пространственным позиционированием измерительного объема. Количество фиксированных позиций в таком слое практически достигает  $10^6$ , а количество результатов измерений ЛДИС может составлять  $10^8$ – $10^{10}$  измерений при объеме информации одного результата измерения доплеровской частоты, равном 28 бит. Позиционирование измерительного объема осуществляется автоматическим координатно-измерительным столом в объеме  $600 \times 350 \times 300$  мм<sup>3</sup> с минимальным шагом 0,1 мм и погрешностью 0,01 мм.

АСНИ ЛДИС мини-ЭВМ обеспечивает измерение компоненты вектора скорости  $v_i$ , перпендикулярной к направлению интерференционных полос в измерительном объеме (см. рис. 1). Изменение угловой ориентации интерференционной решетки в пространстве позволяет измерять две компоненты вектора скорости. Величина среднеквадратичной относительной погрешности  $\sigma_{v_i}$  единичного измерения скорости потока оценивается соотношением [7]

$$\bar{\sigma}_{v_i} = (1/2\pi N_{\Phi}) \sqrt{(1/\Phi_{\Pi}) [1 + I_{\Phi}/(1 + \zeta) I_{\Pi}] + N_{\Pi}/N_{\text{СП}} + k_0 (2/3) \pi^2 \tau_0^2 v_i^2},$$

где  $\Phi_{\Pi} = I_{\Pi}/4l_0 B k_{\Phi} \Delta f (1 + \zeta)$ ;  $N_{\Pi}/N_{\text{СП}}$  — мощность шума электронной системы, относенная к мощности сигнала на квазиоптимальном уровне;  $1/(1 + \zeta)$  — коэффициент глубины модуляции сигнала;  $I_{\Phi}/I_{\Pi}$  — отношение тока от фоновой засветки в харак-

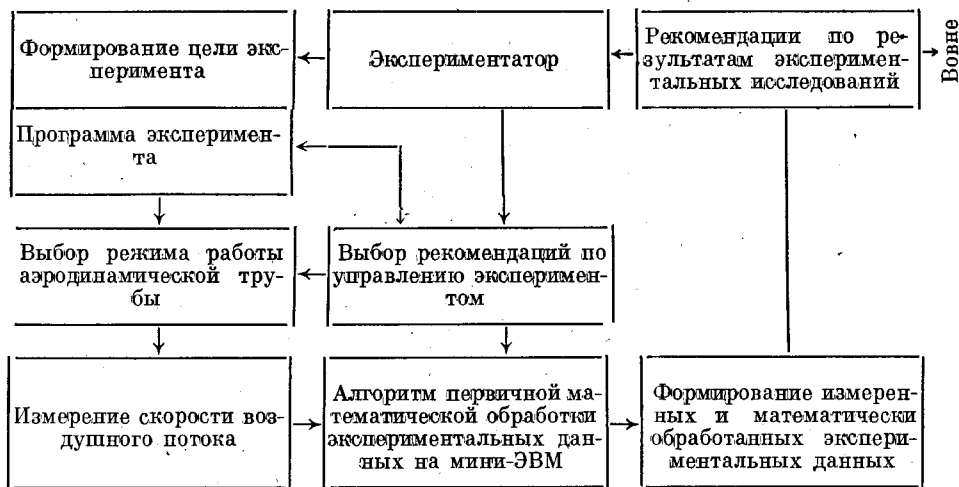


Рис. 3.

терной точке (например, после ФЭУ) к приведенному пороговому значению тока в этой же точке;  $k_0$  — коэффициент, учитывающий шумы при формировании временно-го интервала, измеряемого эталонным отрезком времени  $\tau_0$ ;  $k_\phi$  — коэффициент усиления (по току) фотоприемника и линейного усилителя измерительной системы ЛДИС;  $B$  — коэффициент умножения шумов в фотоприемнике;  $I_0$  — заряд электрона.

Погрешность в определения среднего значения скорости исследуемого потока зависит от объема выборки реализаций сигнала ЛДИС и характера течения исследуемого потока. Априори нельзя задать степень пульсаций потока, а также концентрацию аэрозоля в потоке. АСНИ ЛДИС мини-ЭВМ адаптируется к текущим условиям эксперимента, осуществляя часть функций по получению, обработке и анализу недостающей информации. Так, с учетом характера потока и заданной точности измерения его скорости автоматически вычисляется объем  $M$  (целая часть int) выборки для каждой фиксированной позиции зондирующего интерференционного поля в исследуемом течении  $M = \text{int}(\sigma^2/\delta^2\epsilon^2)$ . Характер течения воздушного потока оценивается по величине дисперсии  $\sigma^2$  скорости потока, измеренной предварительно  $M_{\min}$  раз. Величина  $M_{\min}$  задается во время диалога с мини-ЭВМ. Также автоматически выбираются пространственные области, в которых концентрация аэрозоля выше минимальной. При этом скважность пролета частиц аэрозоля через измерительный объем равна или меньше времени  $t_{\min}$ , задаваемого оператором.

Усовершенствование автоматизации научного эксперимента в натурной аэrodинамической трубе [8] за счет создания адаптивной АСНИ ЛДИС мини-ЭВМ позволяет вести аэрофизические исследования практически одному экспериментатору-аэrodинамику с экранного пульта оператора.

Проблемно-ориентированная АСНИ ЛДИС мини-ЭВМ может найти применение в различных аэrodинамических экспериментах для исследования, например, распределения скорости потока в рабочей части аэrodинамической трубы или вблизи модели летательного аппарата.

## ЛИТЕРАТУРА

1. Артюх Ю. Н., Гродзовский Г. Л., Колотаев Н. П., Якубайтис Э. А. Лазерные доплеровские измерители скорости потоков жидкости и газа.— Изв. АН Латв. ССР, 1979, № 5 (382).
2. Артюх Ю. Н. и др. Быстродействующая система измерения и регистрации цифровой информации лазерного допплеровского измерителя скорости для исследования турбулентных потоков.— В кн.: Тез. докл. III Всесоюз. сов. «Экспериментальные методы и аппаратура для исследования турбулентности». Новосибирск: ИТ СО АН ССР, 1979.
3. Акопян И. П. и др. Автоматическая электронно-оптическая информационно-измерительная и управляющая система промышленного лазерного допплеровского

- измерителя мгновенной и средней скорости воздушного потока.— В кн.: Докл. II Всесоюз. конференции по методам аэрофизических исследований. Новосибирск: ИТиПМ СО АН СССР, 1979.
4. Зуев В. Н., Колотаев Н. П., Миронов А. М. Расширение характеристики электронного частотометра для селекции и измерения параметров кратковременных сигналов.— Тр. Рязанского радиотехн. ин-та. Рязань, 1975, выш. 68.
  5. Ковтун А. К., Шкуро А. Н. Принципы построения цифровых измерителей интервалов времени.— ПТЭ, 1973, № 1.
  6. Беспалько В. А. Специализированный аналого-цифровой процессор для дискретной системы ЛДИС.— В кн.: Тез. докл. III Всесоюз. сов. «Экспериментальные методы и аппаратура для исследования турбулентности». Новосибирск: ИТ СО АН СССР, 1979.
  7. Гродзовский Г. Л. Выбор оптимальных параметров лазерного допплеровского измерителя скорости жидкости и газа.— Ученые записки ЦАГИ, 1976, т. VII, № 5.
  8. Карпов В. А., Колотаев Н. П., Мезенцева С. Ф., Никитин В. Е. Автоматизация научного эксперимента в натурной аэrodинамической трубе с ЛДИС.— В кн.: Материалы Всесоюз. конференции «Автоматизация научных исследований на основе применения ЭВМ». Новосибирск: ИАиЭ СО АН СССР, 1977.

Поступило в редакцию 22 декабря 1980 г.

УДК 621.391

С. А. ГАЛУН, А. В. ЗЮЛЬКОВ, А. П. ТРИФОНОВ  
(Воронеж)

## ОЦЕНКА ПЛОЩАДИ ОПТИЧЕСКИХ ИЗОБРАЖЕНИЙ НА ФОНЕ ШУМОВ

Задача оценки параметров оптических изображений рассматривалась в работах [1, 2] и др. Однако в [1, 2] найдена лишь потенциальная точность оценки неэнергетических параметров изображения. Зарегистрированное оптическое черно-белое изображение будем описывать пуассоновским полем случайных точек [1—3]. Для фотоэлектронного приемника эти точки соответствуют вылетевшим фотоэлектронам, а для фотопластинок и фотопленок — светочувствительным центрам, в которых поглощены кванты света. Полагая, что шумы (фон) равномерно засвечивают весь экран (область наблюдения  $G$ ), интенсивность изображения обозначим  $\lambda(\xi)$ ,  $\xi = (\xi_1, \xi_2)$ ,  $\xi \in G$ . Распределение интенсивности полезного изображения  $\lambda_s(\xi/V\chi)$  зависит от характеристизующего его масштаб параметра  $\chi \in [\chi_{\min}; \chi_{\max}]$ . При этом  $\lambda(\xi) = \lambda_s(\xi/V\chi_0) + \lambda_N$ , где  $\lambda_N$  — интенсивность шумов, а

$$\lambda_s(\xi) = \begin{cases} \lambda_0, & \xi \in \Omega, \\ 0, & \xi \in \bar{\Omega}. \end{cases} \quad (1)$$

Здесь  $\Omega$  — область, ограниченная контуром изображения, площадь которой равна  $E_s$ . Если в выбранной системе координат  $(\xi_1, \xi_2)$   $\bar{E}_s = 1$ , то параметр  $\chi$  численно равен площади полезного изображения. Для измерения площади оптического изображения  $\chi_0$  по наблюдаемой в области  $G$  реализации  $\tilde{N}(\xi)$  воспользуемся методом максимального правдоподобия. Тогда оценка  $\chi_m$  площади  $\chi_0$  определяется как положение абсолютного максимума логарифма функционала отношения правдоподобия [2]:

$$M(\chi) = \int_G \ln [1 + \lambda_s(\xi/V\chi)/\lambda_N] d\tilde{N}(\xi) - \int_G \lambda_s(\xi/V\chi) d\xi \quad (2)$$

при  $\chi \in [\chi_{\min}; \chi_{\max}]$ . Используя (1), перепишем (2) как

$$M(\chi) = \ln (1 + \lambda_0/\lambda_N) \tilde{N}_x - \chi \lambda_0 E_s, \quad (3)$$

где  $\tilde{N}_x$  — число случайных точек наблюдаемой реализации  $\tilde{N}(\xi)$  в области, имеющей форму полезного изображения (1) с площадью  $\chi E_s$ . Согласно (3), устройство для измерения площади оптического изображения можно представить в виде рис. 1, где 1 — анализируемое изображение; 2 — сменная маска с отверстием, имеющим форму области  $\Omega$  с различными значениями площади  $\chi E_s$ ; 3 — фотоэлектронный преобразователь, выходной сигнал которого пропорционален числу точек изображения  $\tilde{N}_x$  в пределах отверстия маски, а  $\psi = \lambda_0 E_s / \ln (1 + \lambda_0/\lambda_N)$ . Устройство позволяет путем смены масок получить  $M(\chi)$  для различных  $\chi_i \in [\chi_{\min}; \chi_{\max}]$ ,  $i = \overline{1, n}$ ,  $n$  — число используемых масок. Площадь отверстия маски, для которой  $M(\chi_i)$  достигает наибольшего значения, является оценкой неизвестной площади изображения (1). Рассмотренное устройство, хотя и реализует метод максимального правдоподобия, обладает ря-